

## ボロン処理鋼中の微量ボロンの態別定量\*

70572

若松茂雄\*\*

## Metallographic Analysis of Microamount of Boron in Boron Treated Steel

Shigeo WAKAMATSU

## Synopsis:

This paper is a part of the general investigation of new metallographic analyses for steel. A simple and reliable method is described for the metallographic analysis of microamount of boron in boron treated steel, by a new electrolytic extraction method using NaCl-EDTA solution as an electrolyte.

The procedure is as follows:

## 1. Separation of boron compound from steel.

(a) Cover the steel sample with close-texture filter paper as a diaphragm, connected as an anode, is dissolved into 100 to 150 ml of 1% NaCl-5% EDTA electrolyte (pH 6~7) at a current density of 50 mA/cm<sup>2</sup> for 2 to 4 hr. Remove the anode, and residue is collected into the filter paper. Transfer the paper and residue to a quartz beaker, and 20 ml of HNO<sub>3</sub> (1 : 2) and boil for 5 min.

(b) Filter and wash with hot water. Add 12 ml of H<sub>2</sub>SO<sub>4</sub> (1 : 1) and 6 ml of H<sub>3</sub>PO<sub>4</sub> (1 : 1) to the filtrate and evaporate to copious fumes. Dissolve the salt with 50 ml of water, cool, dilute to 250 ml, and determine boron as carbide continue in accordance with section 2.

(c) Add 12 ml of H<sub>2</sub>SO<sub>4</sub> (1 : 1) and 10 ml of H<sub>2</sub>O<sub>2</sub> to the electrolyte and boil for 30 min, cool, dilute to 250 ml, and determine boron as solid solution continue in accordance with section 2.

(d) Transfer the paper and residue (Paragraph (b)) to a quartz beaker, add 20 ml of HCl (1 : 1) and boil for 10 min.

(e) Filter and wash with hot water. Add 1 ml of HNO<sub>3</sub> (conc.), 6 ml of H<sub>2</sub>SO<sub>4</sub> (1 : 1) and 4 ml of H<sub>3</sub>FO<sub>4</sub> (1 : 1) to the filtrate and evaporate to copious fumes. Dissolve the salt with 10 ml of water, cool, dilute to 100 ml, and determine boron as oxide continue in accordance with section 2.

(f) Transfer the paper and residue (Paragraph (e)) to a platinum crucible, and ignite at 500 °C. Add 1 g of Na<sub>2</sub>CO<sub>3</sub> and heat gradually until fusion is complete. Cool, take up the melt in 6 ml of H<sub>2</sub>SO<sub>4</sub> (1 : 1), and dilute to 100 ml, and determine boron as nitride continue in accordance with section 2.

## 2. Determination of boron compound.

Transfer 25 ml of each of the solution of section 1. (b), (c), (e), and (f) to separatory funnel. Add 10 ml of water and 5 ml of HF (5%) and let stand for 1 hr. Add 20 ml of water, 2 ml of methylene blue solution (0.001M) and 25 ml of dichloroethane, and shake for 1 min. Let stand for 5 min to allow the layers to separate. Filter the dichloroethane solution through a dry filter paper into a dry absorption cell. Measure the absorbance against blank solution at 660 mμ.

(Received Oct. 18, 1969)

## 1. 緒 言

ボロン処理鋼中のBには焼入性の向上に寄与する形態のもの(effective B)と、寄与しない形態のもの(ineffective B)とが存在し<sup>1)</sup>、前者は地鉄に固溶した固溶体としてのBのみで、窒化物、酸化物など、他の形態のBはすべて後者に属するとされている<sup>2)</sup>。このためBの態別定量は古くから要望されていたものの、ボロン処理鋼のような微量のBの場合、これを形態別に分離することが技術的に困難であつたこと、ごく微量のBの定量に適する感度が高く、しかも、再現性のよい定量方法がなかつたこと、などの理由により従来ほとんど研究されてい

なかつた。最近にいたりBの態別定量に関する報告が2~3見うけられるようになつた<sup>3)~5)</sup>とはいえ、これらもまだ部分的であり、しかも、検討不十分な点もかなりあるように見うけられる。全組織の系統的な分離、ならびに定量方法はまだ確立されていない。

著者はかねてから鋼中の微量添加成分の系統的な態別定量に関する一連の研究を行なつていて、すでに高張力鋼中のNb<sup>6)</sup>およびチタン処理鋼中のTi<sup>7)</sup>について報告した。今回はその一環として、上述のような状況にあ

\* 昭和44年10月本会講演大会にて発表  
昭和44年10月18日受付

\*\* トピー工業(株)技術部 工博

つて、最も緊要性の大であるものの一つと考えられる。ボロン処理鋼中の微量のBの系統的な形態別分離ならびに定量方法について検討を行なつた。

この結果、形態別分離に関しては著者が最近開発したNaCl-EDTA(エチレンジアミン4酢酸)中性溶液を電解液として用いる新しい電解抽出法<sup>9)</sup>およびHNO<sub>3</sub>分解法その他の化学的処理法を併用することにより、また、ごく微量のBの定量に関しては、これも著者が別に報告したメチレン青-ジクロルエタノ抽出吸光光度法の改良法<sup>10)</sup>を利用することにより、ほぼその目的を達することができた。この経過を報告して参考に供する。

## 2. 鋼中のBの存在形態

Bはa-Feに置換型に固溶する<sup>11)</sup>とも、侵入型に固溶する<sup>12)</sup>ともいわれている。分析化学的にはそのいずれであつても問題はないが、前記のように鋼の焼入性に寄与する、いわゆるeffective Bは、この固溶体としてのBのみだとされているので、これを定量的に分離し回収するのが本研究における重要な課題となる。そのほかBは鋼中に炭化物、窒化物、および酸化物としても存在することが知られている。

Bの炭化物としてはB<sub>4</sub>Cが最も一般的である。ボロン処理鋼中に存在するBの炭化物として、このB<sub>4</sub>Cをもつて代表させている報告<sup>13)14)</sup>もある。しかし、実際の鋼中においてB<sub>4</sub>Cの存在は確認されておらず、Fe-C-Bの3元系においてはFe<sub>23</sub>(C, B)<sub>6</sub>あるいはFe<sub>3</sub>(C, B)のような形態のボロセメンタイトが生成するといわれている<sup>12)13)</sup>。なお、ボロン処理鋼を特殊な熱処理を行なつた場合、往々見られる特異な組織、いわゆるB-constituentの本体はこのボロセメンタイトであるとする説<sup>10)13)</sup>が有力である。そして、このB-constituentは焼入性に関してはineffectiveに働くといわれている<sup>14)</sup>。

窒化物、および酸化物形態のBは焼入性にまつたく寄与しないことは周知のとおりである<sup>2)15)16)</sup>。このうち窒化物はボロン処理鋼中にBNとして存在することが確

Table 1. Condition of X-ray diffraction.

Apparatus	X-ray diffractometer (Rigaku Denki, Geigerflex 2001)
Target	Co
Filter	Fe
Voltage	40 kV
Current	12 mA

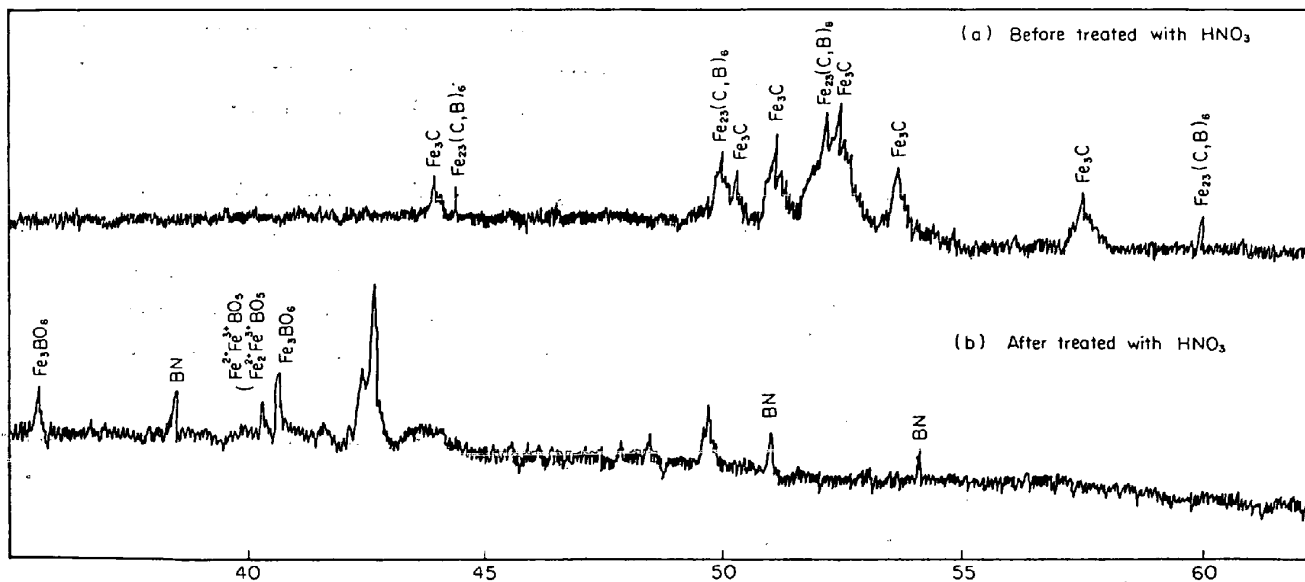


Fig. 1. X-ray diffraction patterns of residue by electrolytic isolation.

Table 2. Chemical composition of specimens (%).

No	C	Si	Mn	P	S	Cu	Cr	Ti	Al	N	O	B*
1	0.07	0.23	0.26	0.012	0.024	0.37	—	0.05	0.029	0.0065	0.015	0.0029
2	0.14	0.20	0.26	0.014	0.016	0.33	0.56	0.04	0.020	0.0057	0.006	0.0033
3	0.28	0.19	0.50	0.015	0.016	0.19	—	0.06	0.015	0.0055	0.004	0.0033
4	0.38	0.40	1.41	0.013	0.011	0.21	1.08	0.03	0.018	0.0060	0.004	0.0029
5	0.11	0.18	0.37	0.017	0.020	0.13	—	—	0.019	0.0061	0.013	nil

\* Boron was determined by curcumine method<sup>19)</sup>

認されている<sup>4,5</sup>酸化物は鋼中のBは  $B_2O_3$  のような単純な形態でなく、酸化鉄との複酸化物を形成しているといわれている<sup>17,18</sup>。

実際の鋼中にどのような形態のBが存在するか、今回実験に用いた Table 2 の試料4の電解抽出残査について、Table 1 の条件でX線回折を行なつた。

この結果は Fig. 1 に示すごとく、電解抽出したままの残査からは  $Fe_3C$  および  $Fe_{23}(C, B)_6$  に相当する回折線が得られた。このような組成の鋼の場合、主として  $Fe_3(C, B)$  が生成するといわれている<sup>13</sup>が、 $Fe_{23}(C, B)_6$ のみが検出されたのは Cr その他共存成分の影響によるのではないかと思われる。また、これを  $HNO_3$  (1+2) で処理したあとの残査からは、BN,  $Fe^{3+}_3BO_6$ ,  $Fe^{2+}_2Fe^{3+}BO_5$ ,  $Fe^{2+}_2Fe^{3+}BO_5$  などのほか 2~3 不明の回折線が得られた。これはBを含む化合物でないことは確実であるが、それ以上の点については検討しなかつた。

以上の諸文献およびX線回折結果から、ボロン処理鋼中のBは固溶体としてのほか、 $Fe_3(C, B)$ <sup>13</sup>,  $Fe_{23}(C, B)_6$  のようなボロセメンタイトとして、BNの形態の窒化物として、 $Fe^{2+}(BO_2)_2$ <sup>18</sup>,  $Fe^{3+}_3BO_6$ ,  $Fe^{2+}_2Fe^{3+}BO_5$ ,  $Fe^{2+}_2Fe^{3+}BO_5$  のような酸化鉄との複酸化物として、それぞれ存在することが推定される。よつて、これら各形態のBを1試料から順次系統的に分離し、それぞれ定量する方法について検討を行なうこととした。

### 3. 実験試料

実験ならびに態別定量用試料として Table 2 に示す4種のボロン処理鋼、および空試験液用、合成試料用その他のためにB不含の炭素鋼1種を使用した。

試料はいずれも高周波炉で溶製、鍛造したままのもので、これらを 5×5×70 mm の棒状に切断加工し実験に供した。ただし、これらの試料はこの実験のためにとくに溶解作製されたものではない。たまたま手もとにあつた試料のうちから、B量がほぼ等しく、C量の異なるものを見つけて使用した。

### 4. 試薬、器具および装置

#### 4.1 試薬

試薬類は得られる範囲の最高純度のものを使用した。水はイオン交換純水をさらに蒸留して使用した。主要なもののみをつぎにあげる。

(1) 電解液:  $NaCl$  10 g および EDTA 2 ナトリウム (2 水塩) 50 g を水約 900 ml に溶解し、 $NH_4OH$  (1+1) を加えて pH を 6~7 に調節したのち、水を加

えて 1 l とする。

(2) 洗浄液: EDTA 液 (0.01M) に  $NH_4OH$  (1+1) を加えて pH を 6~7 とする。

(3) メチレン青溶液 (0.001M): メチレン青 0.187 g を水 500 ml に溶解する。

(4) 1,2-ジクロルエタン

(5) ボロン標準液 (0.5  $\mu gB/ml$ ):  $H_3BO_3$  0.1429 g を水に溶解し 500 ml にしたもの、一部をとり 100倍にうすめて使用する。

(6) 合成 BN: 市販品を 200 メッシュ以下に粉碎して使用した。この物のB含有量は 43.10% であった。

(7) 合成酸化物 B: 中山ら<sup>18</sup>の方法に準じて作製した。すなわち、あらかじめ鉄るつぼに  $B_2O_3$  を入れて溶融しておき、これにミルスケール粉末を加え 900°C で 1 hr 溶融する。冷却後、融塊を粉碎しメタノールで処理して過剰の  $B_2O_3$  を溶解除去する。これを済過、洗浄、乾燥後、さらに 200 メッシュ以下に粉碎する。

この酸化物 B の組成を X 線回折で同定したところ、Fig. 1(b) および文献<sup>18</sup>中に示されたと同様な回折線図が得られ、ほぼ実際の抽出残査中に存在するのと等しい各種の酸化物 B が形成されているのが認められた。この物のB含有量は 8.59% であった。

なお、合成 BN および合成酸化物 B 中の B は、ほう素酒石酸バリウム重量法<sup>19,20</sup>によつて定量した。

(8) 合成  $B_4C$ : 市販品を使用。

#### 4.2 器 具

ビーカーは石英製、電解槽、洗瓶、分液ろうと、ろうと、メスシリンダー、試薬瓶などの器具、容器類はポリエチレンなどのプラスチックス製を使用し、ガラス製器具は一時的に使用するメスフラスコ、ピペット、およびビュレット以外はいつさい使用しなかつた。

#### 4.3 装 置

(1) 電解装置: 既報<sup>8</sup>と同じで、整流器、電解槽、冷却水槽、不活性ガス送入管などから構成される。

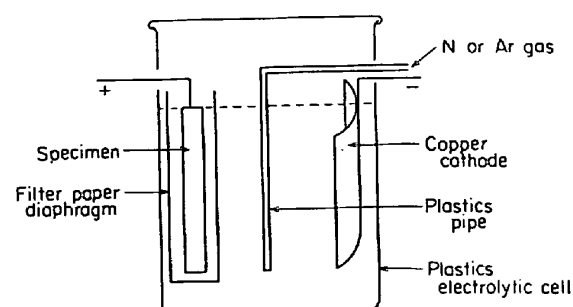


Fig. 2. Apparatus for electrolytic separation of boron compounds.

電解槽はポリエチレン製ビーカーに時計皿のふたをした程度のものでもよいが、電解中なるべく電解液が直接空気に触れる機会を少なくすることが必要であるから、Fig. 2 のようなきつちりとふたのできる構造の容器を用いるのが望ましい。また、不活性ガスの流通だけでは電解液の攪拌の不十分な場合は、マグネチックスターーラーを用いるとよい。

電解にあたつては汎紙を隔壁として用いる。すなわち、11 cm の汎紙（5種C）を径約8~9 mm の円筒状に巻き、一端から30~40 mm の部分で折りまげ、その部分にプラスチックスのリングまたはゴム輪をはめ固定する。これに試料片を挿入し電解槽中に入れ、直立させた状態で保持する。

(2) 分光光電度計：島津スペクトロニック 20. 吸収セルは11 mm $\phi$  試験管型を使用。

## 5. 態別分離ならびに定量操作

### 5.1 態別分離操作

(1) 電解槽に電解液を、試料を1 g 分解するときは100~120 ml, 2 g 分解するときは130~150 ml 入れ、あらかじめ秤量した試料を陽極、銅板を陰極としてNまたはArガスを電解液中に通しながら、50 mA/cm<sup>2</sup> 以内の電流密度で、試料中の全B量が0.002%以上とのときは1 g (電解時間約2 hr), 0.002%未満のときは2 g (約4 hr) 分解するまで電解を行なう。

この間20~30 min おきにBTB(ブロムチモールブルー)試験紙を用い電解液のpHをしらべ、もし試験紙が濃青色を呈したならばH<sub>2</sub>SO<sub>4</sub>(1+1)を滴加して、電解液のpHをつねに6~7の範囲に保つようとする。また、電解槽を水冷し液温を25°C以下に保つようする。

(2) 電解終了後、試料の残片および汎紙を、その状態のまま引きあげ別のビーカーに移す。汎紙を拡げ、汎紙に付着している残査の大部分を、洗浄液の入った洗瓶で吹き落す。この汎紙の切片を用い試料残片に付着している残査を数回拭い落し、さらに洗浄液で洗浄したのち、取りだし、洗浄、乾燥後秤量する。

(3) ビーカー内で汎紙を十分破碎したのち、汎紙(5種B)を用いて汎過し、洗浄液で5~6回洗浄しFeその他の金属イオンを除去する。

(4) 電解液に汎洗液を合わせH<sub>2</sub>SO<sub>4</sub>(1+1)12 ml およびH<sub>2</sub>O<sub>2</sub>10 mlを加え、加熱して約30 min 煮沸して過剰のH<sub>2</sub>O<sub>2</sub>を完全に分解する。冷却後、250 ml メスフラスコへ入れ標線まで水を加える。以下後記5.2(1)~(5)にしたがつて操作し、固溶体としてのBを

定量する。

(5) 上記(3)の残査は汎紙ごとビーカーに入れHNO<sub>3</sub>(1+2)20 mlを加え、加熱し約5 min 煮沸しセメンタイトを分解するとともに汎紙を破碎する。汎紙(5種A)を用い別のビーカー中に汎過し、温水で4~5回洗浄する。

(6) 汎洗液にH<sub>2</sub>SO<sub>4</sub>(1+1)12 mlおよびH<sub>3</sub>PO<sub>4</sub>(1+1)6 mlを加え加熱蒸発し、約10 min 濃厚なH<sub>2</sub>SO<sub>4</sub>白煙を発生させてHNO<sub>3</sub>を完全に駆除する。冷却後、少量の水を加えて塩類を溶解し、250 ml メスフラスコへ入れ標線まで水を加える。以下後記5.2(1)~(5)にしたがつて操作し、ボロセメンタイトとしてのBを定量する。

(7) 上記(5)の残査は汎紙ごとビーカーに入れHCl(1+1)20 mlを加え、加熱し約10 min 煮沸し酸化物を分解するとともに汎紙を破碎する。汎紙(5種A)を用い別のビーカー中に汎過し、温水で4~5回洗浄する。

(8) 汎洗液にHNO<sub>3</sub>1 ml, H<sub>2</sub>SO<sub>4</sub>(1+1)6 mlおよびH<sub>3</sub>PO<sub>4</sub>(1+1)4 mlを加え加熱蒸発し、約10 min 濃厚なH<sub>2</sub>SO<sub>4</sub>白煙を発生させHNO<sub>3</sub>およびHClを完全に駆除する。もし、白煙発生近く有機物による褐色沈殿が生じたならば、HNO<sub>3</sub>1 mlを追加して分解する。冷却後、少量の水を加えて塩類を溶解し、100 ml メスフラスコへ入れ標線まで水を加える。以下後記5.2(1)~(5)にしたがつて操作し、酸化物としてのB

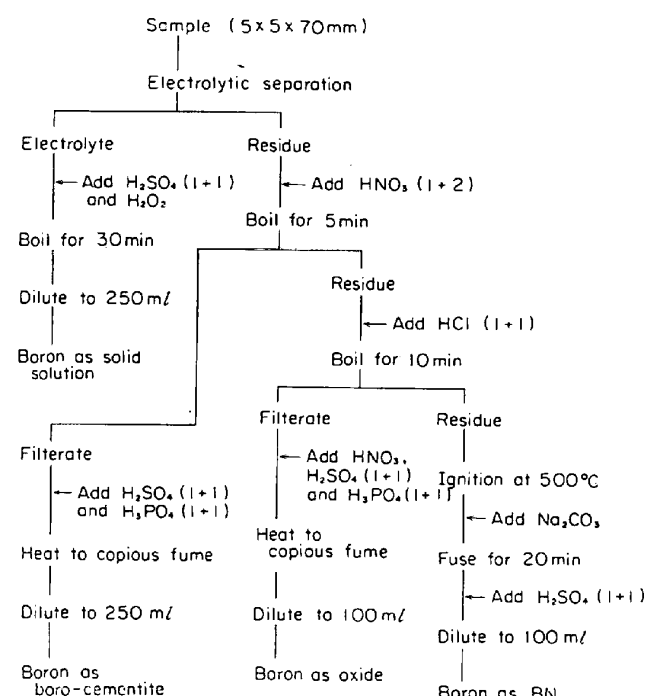


Fig. 3. Flow sheet for metallographic separation.

を定量する。

(9) 上記(7)の残査は沪紙ごと白金るつぼに移し約500°Cで強熱灰化後、無水Na<sub>2</sub>CO<sub>3</sub>1gを加え約20min溶融する。冷却後、ビーカー内でH<sub>2</sub>SO<sub>4</sub>(1+1)6mlおよび少量の水により融塊を溶解し、白金るつぼを取りだしたのち、100mlメスフラスコへ入れ標線まで水を加える。以下後記5.2(1)～(5)にしたがつて操作し、BNとしてのBを定量する。

以上の操作の概要をFig.3に示す。

## 5.2 定量操作

(1) 上記5.1(4), (6), (8)および(9)の各メスフラスコから25mlずつを分取し分液ろうとに入れれる。これに水10mlおよびHF(5%)5mlを加え、振りまぜたのち1hr放置する。

(2) 水20mlおよびメチレン青溶液2mlを加え振りまぜたのち、たたちにジクロルエタン25mlを加え1minはげしく振りまぜる。

(3) 5min放置して2層に分離後、下層のジクロルエタン相を乾燥沪紙(5種A, 9cm)を用いて沪過し、最初の流出液約5mlを捨てたのち、吸収セルに入れる。

(4) それぞれの場合に対応する空試験液を対照として波長660mμにおける吸光度を測定する。

(5) あらかじめ作製してある検量線より固溶体、ボロセメンタイト、酸化物およびBNとしてのB量を求める。

(6) 空試験液：分析試料となるべく組成の近似したB不含の鋼を、分析試料と同時に並行して上記5.1(1)～(9)および5.2(1)～(3)にしたがつて処理し調製する。

(7) 検量線：H<sub>2</sub>SO<sub>4</sub>(1+1)12mlに水を加えて250mlとする。これから25mlずつを分液ろうとに分取し、ボロン標準液を0, 1, 3, 5および8mlを、それぞれに加え、つぎに液量の合計がいずれも35mlとなるように不足分の水を加える。これにHF(5%)5mlを加え、以下5.2(1)～(4)にしたがつて処理し吸光度を測定し、B量との関係線を作製する。ただし、この場合は対照液にB添加量0のものを用いる。

## 6. 鋼中のBの系統的態別分離

### 6.1 固溶Bと化合物Bとの分離

前記のように焼入性の向上に寄与するのは固溶体としてのBのみだとされているところから、固溶Bのみを分別定量する試みは古くからなされている。RUNGEら<sup>21)</sup>は試料を水蒸気を含むH<sub>2</sub>気流中でオーステナイト化温度以上に加熱し脱Bを行なわせる、いわゆる熱拡散法を応

用して固溶Bの分離を行なつた。最近阿部ら<sup>3)</sup>も同様な方法で固溶Bの分離を行なつたが、この方法によつて得られた固溶Bの値が、Br-エステル抽出法によつて得られた値と一致するところから、Br-エステル抽出法をeffective Bの定量方法として推奨している。

しかし、この熱拡散法は一方では試料中の全Bの定量にも利用されていて<sup>22)～24)</sup>、鉄鋼中の全Bの定量に適用した例<sup>24)</sup>もある。したがつて、こうした方法で果たして固溶Bのみが分離されるか否か疑問がある。そこで、本研究では固溶Bのみを分離するのに最も適していると思われる、著者の考案したNaCl-EDTA溶液を電解液として使用する電解抽出法<sup>8)</sup>を利用することとし、この方法とBr-エステル抽出法との比較を行なつた。

すなわち、Table 2の試料1および4を電解抽出法の場合は、前記5.1(1)～(4)および5.2(1)～(5)にしたがつて処理し、電解液中に溶解したBの定量を行なつた。また、5.1(3)で得た沪紙上の残査を、ただちに5.1(9)および5.2(1)～(5)にしたがつて処理し、電解抽出残査中のBを定量した。

Br-エステル抽出法の場合は、原報<sup>3)</sup>に操作方法の記載がないため、学振のAIN抽出のためのBr-エステル抽出法<sup>25)</sup>を用い、この方法により試料1gを分解したのち、抽出残査を5.1(9)および5.2(1)～(5)にしたがつて処理し、残査中のBを定量した。固溶Bに相当する溶液中のBは、Table 2の全B量と残査中のB量との差をもつて表わした。

これらの結果はTable 3に示すごとくで、試料1については両者ほぼ近い値が得られたのに対し、試料4ではいちじるしく異なる値が得られた。

本電解抽出法ではセメンタイトその他の炭化物、硫化物、窒化物、酸化物などの析出物、介在物のほとんどすべてが定量的に抽出分離される<sup>8)</sup>のに対し、Br-エステル抽出法ではセメンタイトのほとんど全部が分解され、硫化物、窒化物、酸化物なども一部の比較的不安定なものは分解される<sup>26)</sup>といわれている。この差がTable 3の結果に示されたものと推察される、すなわち、後記のように試料1ではボロセメンタイトがごく微量であるのに反し、試料4ではBの大部分がボロセメンタイトとして存在している。Br-エステル抽出法はこのボロセメンタイトに作用し分解するために、ボロセメンタイトの微量な試料1では電解抽出法とほぼ等しい結果が得られたが、ボロセメンタイトの多い試料4では固溶Bに相当する分解溶液中のB量がいちじるしく過大になつたものと思われる。

以上の実験および考察から、本電解抽出法は固溶Bの

Table 3. Comparison of method for extraction of boron as solid solution.

Sample	B in electrolyte or ester-halogen solution (%)		B in residue (%)	
	Electrolytic extraction (direct)	Ester-halogen (diff.)	Electrolytic extraction (direct)	Ester-halogen (direct)
1	0.0025	0.0027	0.0005	0.0002
4	0.0002	0.0019	0.0029	0.0010

抽出分離のための方法として、Br-エステル抽出法よりも信頼性が大で、すぐれているといえると思う。熱散拡法も、Br-エステル抽出法と等しい結果が得られるとすれば、この方法もボロセメンタイトに作用し分解するものと考えられ、固溶Bの抽出分離法としては、とくにC量の多い試料の場合適当ではないと思われる。

#### 6.2 ボロセメンタイトとその他の化合物Bとの分離

前記のようにBを含有する鋼中にはBを固溶したセメンタイト、すなわち、ボロセメンタイトが存在するといわれており、本実験に用いた試料のX線回折結果からも、その存在が認められた。しかし、一般にはボロン処理鋼のような低C、低Bの鋼ではBの炭化物は存在しないと考えられている。このため従来通常の鉄鋼中の全Bの定量においてはもちろん、態別定量においてもボロセメンタイトは問題にされたことがなく、なんらの考慮もはらわれたことがなかつた。よつて、そのボロセメンタイトの存在の確認と分離法に関し、つぎの実験を行なつた。

Table 2 の試料1および4を前記5.1(1)～(3)にしたがつて処理（ただし、隔壁として涙紙の代わりに半透性の素焼の円筒を用い、また、残査の涙別にはアスペストを使用した）したのち、涙別した抽出残査をHNO<sub>3</sub>(1+1) 20 ml あるいは HNO<sub>3</sub>(1+2) 20 ml で5 min 煮沸し分解する。これをアスペストを用い涙過、洗浄、不活性ガス中で乾燥後、電量滴定法により残査中のCを定量した。

この結果はTable 4に示すごとく、いずれの試料の場合もHNO<sub>3</sub>処理後の残査中にCの存在は認められなかつた。このことは本実験で使用したボロン処理鋼の電解抽出残査中にはHNO<sub>3</sub>に分解する炭化物のみが存在

することを物語るものであり、この炭化物はFig. 1(a)のX線回折結果から主としてセメンタイトであることが推定される。

B<sub>4</sub>Cはもし存在するとすればTable 6からB<sub>4</sub>CはHNO<sub>3</sub>に不溶であるから、Table 4に若干のCが定量されるはずである。したがつてB<sub>4</sub>Cは存在しないといえると思う。その他の炭化物では試料4に(Fe, Cr)<sub>3</sub>Cの存在が考えられるが、これはたとえ存在したとしても本態別定量には影響がないので無視できる。

このセメンタイト中にBが固溶している。すなわち、ボロセメンタイトが存在するとすれば、HNO<sub>3</sub>処理溶液中にBが検出されるはずである。そこで、前記の実験で得られたHNO<sub>3</sub>処理後の溶液を、前記5.1(6)および5.2(1)～(5)にしたがつて操作しBを定量した。この結果をTable 5に示す。

Table 5から、試料によつて多少の差はあるものの、いずれの試料においても、セメンタイト中にBを含んでいるのが認められた。しかし、電解抽出残査のHNO<sub>3</sub>処理によつて炭化物以外の酸化物、窒化物などの形態で存在するBが、どのような挙動を示すか不明であつて、Table 5で得られたBのすべてがボロセメンタイトとしてBであるとは、ただちに断定はできない。

Bの窒化物、酸化物などがHNO<sub>3</sub>その他の酸に対してどのような挙動を示すか、従来の文献では明らかにされていないので、今回新たに合成化合物を用いて定性的な試験を行なつた。

Table 6に示す各化合物1 mgに、同じくTable 6に示す各種の酸20 mlずつを加え10 min煮沸したのち、その溶液の一部についてアルカリ滴定を行ない、空試験値以上の標準液を消費しなかつたものを不溶、未分解残分がありながら若干の標準液を消費したもの微

Table 5. Determination of boron in filterate.

Sample	B found (%)	
	HNO <sub>3</sub> (1+1)	HNO <sub>3</sub> (1+2)
1	0.0004	0.0004
4	0.0021	0.0020

Table 4. Decomposition of carbides with HNO<sub>3</sub>.

Sample	C found (%)	
	HNO <sub>3</sub> (1+1)	HNO <sub>3</sub> (1+2)
1	nil	nil
4	nil	nil

Table 6. Solubility of boron compounds.

Compounds	$\text{HNO}_3$		$\text{H}_2\text{SO}_4$		$\text{HCl}$		Aquaregia
	(1+1)	(1+2)	(1+3)	(1+6)	(1+1)	(1+2)	
$\text{B}_4\text{C}$	C	C	C	C	C	C	C
BN	C	C	C	C	C	C	B
B oxides	B	C	B	B	A	A	A

A: Soluble B: Soluble a little C: Insoluble

溶、肉眼的に大部分が分解したと認められたものを可溶とした。

この結果は Table 6 に示すごとくである。Table 6 から、 $\text{HNO}_3(1+1)$  には酸化物 B の一部が分解するおそれがあるが、 $\text{HNO}_3(1+2)$  の場合は BN、酸化物 B とも不溶で、そのおそれのないことがわかつた。したがつて、Table 5 の  $\text{HNO}_3(1+2)$  で処理した溶液中から得られた B はすべてボロセメンタイトとしての B だといえると思う。

また、Table 4, 5 および 6 の結果から、電解抽出残査を  $\text{HNO}_3(1+2)$  20 ml で処理し 5 min 煮沸すれば、ボロセメンタイトとしての B のみが分解し酸化物および窒化物としての B は残査中に残り、相互の分離が可能であることがわかる。よつて、酸化物 B および窒化物 B からボロセメンタイトの分離にはこの方法を用いることとした。

なお、Table 5 においてボロセンタイトとしての B が、試料 1 ではごく微量であるのに対し、試料 4 ではいちじるしく多く、試料中の B の大部分がボロセメンタイトとして存在していることを示している。これは従来の常識からは考えられないことなので再検討を行なつたが、分離ならびに定量操作上に誤まりはなかつた。試料によつてはボロセメンタイトがいちじるしく多い場合があり、これは後にも述べるように C 量と関係があるようである。

### 6・3 酸化物 B と窒化物 B の分離

阿部ら<sup>27)</sup>は酸化物 B と窒化物 B との分離に王水を使用しているが、Table 6 にみると王水には BN も若干分解する傾向が認められる。本実験ではより安全な HCl を使用することとした。HCl(1+1) と較(1+2) との比では、HCl(1+1) のほうが酸化物 B の分解がより迅速、容易であり、かつ、BN に作用する傾向も認められなかつた。よつて、これを用いて実験を行なつた。

B 不含の炭素鋼および試料 4 を前記 5・1(1)～(3), (5), (7), (8) および 5・2(1)～(5) にしたがつて処理し、酸化物としての B を定量した。ただし、B 不含炭素鋼の場合は、5・1(1) の電解にさいし、隔壁として

Table 7. Separation of boron oxides from BN.

Sample	B compounds added (mg)	Sample dissolved (g)	Aliquot of sample solution	B found
Carbon steel	$\text{B oxides: } 0.35$ $\text{BN: } 0.50$	2.1030	(B in final solution) 3.0 $\mu\text{g}$	3.0 $\mu\text{g}$ 3.0 $\mu\text{g}$
4	—	2.0713	1/4	0.0002% 0.0002%

用いる汎紙円筒内に合成酸化物 B 0.35 mg および合成 BN 0.50 mg を加え、4 時間電解を行ない約 2 g の試料を分解した。また、5・1(8) では  $\text{H}_2\text{SO}_4(1+1)$  12 ml および  $\text{H}_3\text{PO}_4(1+1)$  6 ml を加え白煙処理を行ない、250 ml メスフラスコを使用した。この結果を Table 7 に示す。

Table 7 から酸化物 B は 5・1 の操作によつた場合、電解液中における 4 時間の浸漬、 $\text{HNO}_3(1+2)$  20 ml による煮沸煮処理にも作用されないが、HCl(1+1) 20 ml には完全に分解されることが認められる。また、BN はこれらの処理によつてなんら作用されないことが、Table 7 の酸化物 B 定量結果から推察される。

このような態別分離法の研究においては、現在のところほかに適当な方法がないため、合成化合物を用いて検討を行なうのが普通である。このさい問題となるのは実際に鋼中に存在する化合物と、合成化合物とが、必ずしも化学的、電気化学的性質が一致するとは限らないことである。これは一般に実際の化合物が合成化合物のような単純な組成でないこと、また、たとえ組成的には等しくても、粒度その他形態的な差のある場合があること、などによるものと考えられる。

しかし、本研究の化合物 B の場合、実際の化合物と合成化合物では、酸化物、窒化物とも従来の文献および今回の X 線回折結果から、組成的にはほぼ等しいと考えられるので、基本的な性質にはそれほどの差はないようと思われる。ただ、粒度、形態などの面では実際の化合物と合成化合物では当然差のあることが考えられる。一般に鋼中に析出する各種の炭化物、窒化物などは、ごく微細な場合が多く、化学的に不安定となつてゐるため、抽

出分離にさいし分解しやすく、その点で合成化合物と差を生じることが多い。化合物Bの場合も実際の化合物と合成化合物との間に、このような差のあるおそれがある。しかし、通常鋼中に存在する酸化物Bおよび窒化物Bは比較的安定で、希薄な酸などでは分解しがたいといわれている。とくに窒化物Bは酸化剤共存における $H_2SO_4$ ,  $H_3PO_4$ による白煙処理、あるいはアルカリ溶融によるかしなければ完全に分解しないとされており、経験的にかなり難溶性であることが知られている。

試みに、試料4を電解して得た抽出物を $HNO_3(1+2)$ で処理した残査中のBと、さらにこの残査をふたたび $HNO_3(1+2)$ で処理したあとの残査中のBとを、定量し比較した結果、Table 8に示すごとく両者に差は認められなかつた。この事実からも前記のことが裏付けられ、少なくとも実際の化合物Bが合成化合物よりも不安定であるとはいえないと思う。

以上の実験ならびに考察から、Table 7の合成試料の結果をもつて実際の場合を類推しても大なる誤まりはない、Table 7の試料4の酸化物としてのB定量結果も信頼しうるものと考えられる。

#### 6.4 窒化物Bの分解

前項の方法によつて酸化物Bを分離したあとの残査は、窒化物Bのほか多量の汎紙纖維が共存している。これらを同時に分解するため、操作の容易である点から従来鉄鋼中のB定量における酸不溶性Bの分解に広く用いられている、強熱灰化後 $Na_2CO_3$ で溶融する方法を利用した。

すなわち、前項6.3の実験の5.1(7)の操作で得た、B不含炭素鋼および試料4の残査を、ひきつづき5.1(9)および5.2(1)～(5)にしたがつて処理し窒化物

Table 8. Solubility of boron oxides and BN in steel.

B as B oxides and BN (%)	
1st treated with $HNO_3$	2nd treated with $HNO_3$
0.0009	0.0009
0.0010	0.0009

Table 9. Determination of boron as nitride.

Sample	B compounds added (mg)	Sample dissolved (g)	Aliquot of sample solution	B found
Carbon steel	B oxides: 0.35 BN: 0.50	2.1030	(B in final solution) 2.2 $\mu$ g	2.1 $\mu$ g 2.2 $\mu$ g
4	—	2.0713	1/4	0.0007% 0.0007%

としてのBを定量した。ただし、B不含炭素鋼の場合は5.1(9)では $H_2SO_4(1+1)$  150 mlを加え、1 lメスフラスコを使用した。また、5.2(1)では10 mlを分取し、水25 mlを加えた。この結果をTable 9に示す。

Table 9にみると、B不含炭素鋼では窒化物としてのBは添加量と一致した結果が得られ、前項で推察したように5.1の一連の分離操作において、分解その他による損失がなく、かつ、汎紙とともに強熱灰化する過程でも揮散による損失のないことが認められた。また、試料4においても、これまでのTable 3の固溶体としてB、Table 5の炭化物としてのB、Table 7の酸化物としてのBおよびTable 9の窒化物としてのBの合計が0.0031%で、Table 2の全B定量結果0.0029%とほぼ一致し、操作の過程で損失のなかつたことを示している。

以上の検討結果から前記5.1の分離操作を規定した。5.1の分離操作で態別分離を行なつた場合、実験試料、合成試料とも操作の過程でBの損失がなく、さらに合成試料では態別分離はほぼ完全であり、実際試料でも前項で考察したように、合成試料と同様であることが推察され、実際試料に適用可能であると思われる。

#### 7. Bの吸光光度定量

前記5.1の操作によつて鋼中のBを組織別に分離したあと、各組織ごとにその中に含まれているBを定量するのであるが、その定量法としては著者が別に報告したメチレン青-ジクロルエタン抽出吸光光度法の改良法<sup>9)</sup>が、ごく微量のBの定量に適し、かつ、操作が簡易であり、精度的にもすぐれているので、これを利用することとした。これについての検討は別に報告<sup>9)</sup>しているので、記述を省略し、今回態別定量に適用するため新たに行なつた実験についてのみ述べることとする。

##### 7.1 固溶体としてのBの定量

固溶体としてのBは電解終了後の電解液から定量するわけであるが、電解液中には多量のEDTAおよびNaClを含んでいる。これらがもしB定量の妨害となるようであれば、あらかじめ除去しておく必要がある。妨害となるか否か、従来検討されたことがなく不明である。よつて、この点について実験を行なつた。

まずつぎの3種の溶液を調製した。

(1)  $H_2SO_4(1+1)$  12 mlに水を加えて250 mlとしたもの。

(2) 未使用の電解液150 mlに $H_2SO_4(1+1)$  12 mlと水を加えて250 mlとしたもの。

(3) B不含炭素鋼を前記5.1(1)～(4)にしたが

Table 10. Effect of EDTA, NaCl and Fe on color development.

Test solution	B added ( $\mu\text{g}$ )	Absorbance ( $-\log T$ )
$\text{H}_2\text{SO}_4$ solution	0.5	0.120 0.120
	3.0	0.68 0.69
Before used electrolyte, contain EDTA, NaCl, and $\text{H}_2\text{SO}_4$	0.5	0.115 0.120
	3.0	0.69 0.69
After used electrolyte, contain EDTA, NaCl, Fe and $\text{H}_2\text{SO}_4$	0.5	0.118 0.120
	3.0	0.69 0.68

つて処理して得られた 250 ml の溶液。ただし、この場合、電解液 150 ml を使用し、4 hr 電解試料約 2 g を分解した、陰極には白金網を使用し、電解終了後逆電流を流し陰極に析出した金属鉄を溶解した。また、5.1(4)において  $\text{H}_2\text{O}_2$  の添加および煮沸の操作を省略すると、のちの 5.2(2)においてメチレン青溶液を加えても、メチレン青が還元され定量は不可能になるのが認められた。5.1(4)に規定したように  $\text{H}_2\text{O}_2$  10 ml を加え煮沸してあらかじめ酸化しておくことが必要であった。これらの溶液から 25 ml ずつを分液ろうとに分取し、ボロン標準液を加え、つぎに液量の合計がいずれも 35 ml となるように不足分の水を加える。これに HF(5%) 5 ml を加え、以下前記 5.2(1)～(4)にしたがつて処理し、それぞれの場合のボロン標準液を加えないものを対照液として吸光度を測定する。

この結果は Table 10 に示すごとくで、いずれの場合も B 添加量が等しいものでは吸光度に差異がなく、EDTA, NaCl, Fe などの共存は、なんら妨害とならないことがわかつた。したがつて、上記のように電解後電解液に  $\text{H}_2\text{O}_2$  を加えて Fe その他を酸化しておけば、EDTA その他共存成分を除去する必要がなく、ただちに定量操作を行なうことが可能で、操作がいちじるしく簡易化された。

**7.2 炭化物、酸化物および窒化物としての B の定量**  
ボロセメンタイトの場合は  $\text{HNO}_3(1+2)$  により、酸化物 B の場合は  $\text{HCl}(1+1)$  により、窒化物 B の場合は  $\text{Na}_2\text{CO}_3$  溶融により、それぞれの化合物を分解したのち、ボロセメンタイトでは  $\text{H}_2\text{SO}_4$  と  $\text{H}_3\text{PO}_4$ 、酸化物 B では  $\text{H}_2\text{SO}_4$  と  $\text{H}_3\text{PO}_4$  に有機物を分解するために少量の  $\text{HNO}_3$  を加え、白煙処理を行ない、 $\text{HNO}_3$  あるいは  $\text{HCl}$  を駆除し、窒化物 B では、 $\text{H}_2\text{SO}_4$  を加え融塊を溶解し、 $\text{H}_2\text{SO}_4$ ,  $\text{H}_3\text{PO}_4$  あるいは  $\text{H}_2\text{SO}_4$  溶液とすれば、

それ以後は、それぞれの化合物としての B の定量が、前記固溶体としての B とともに、前記 5.2 の操作により同一操作で可能になる。このさいの  $\text{H}_2\text{SO}_4$  の濃度、 $\text{H}_3\text{PO}_4$  の共存などの影響については別報<sup>9</sup>で検討しており、5.2 の操作も別報の操作に準じているので、ここでは記述を省略する。

### 7.3 検量線

前記 5.2(7) の方法にしたがつて作製した検量線を Fig. 4 に示す。

従来のメチレン青-シクロルエタン抽出吸光光度法で検量線は直線とならず、しかも、操作条件が異なると同じ B 量でも吸光度が異なり、それぞれの条件に応じた検量線が必要となるのが普通である。しかし、別報<sup>9</sup>の改良法では従来のような希釈、水洗など、検量線に影響をおよぼす操作を含まないためか、Fig. 4 にみるように検

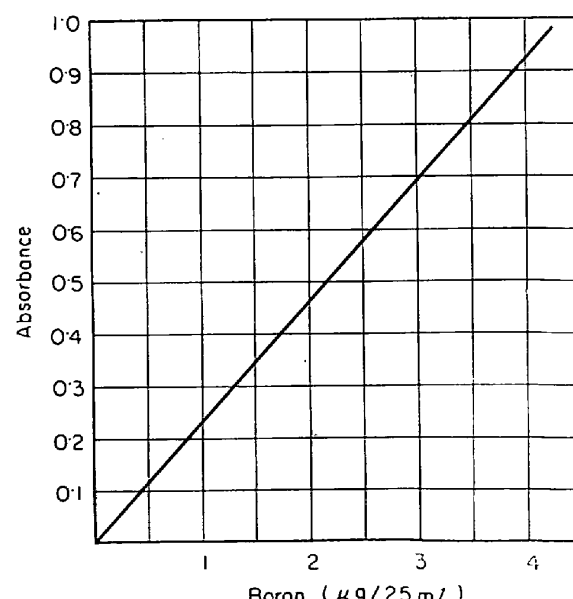


Fig. 4. Calibration curve.

量線は原点を通る直線となる。また、本態別定量では各化合物の分離の過程で、それぞれ操作条件が異なり、とくに固溶B定量においては他の化合物Bの場合とかなり条件が異なる。当然検量線は1本とならないことが予想されるが、Table 10 にみるように、実際は操作条件が異なつても吸光度に変化は認められなかつた。試みに炭化物B、酸化物Bおよび窒化物Bの場合について、それぞれ別個に検量線を作製したところ、いずれも Fig. 4 と等しい検量線が得られ、1本の検量線を共用することの可能なことが確かめられた。これは従来の方法では吸光度の測定にさいし、対照液にジクロルエタンを使用しているのに対し、本改良法では空試験液を使用していることに主としてよるのではないかと思われる。操作条件の差異により空試験値は変動しやすいが、錯塩自身の吸光度はあまり変動しないようである。

この検量線から、本法におけるBの定量下限を  $0.1 \mu\text{g}$  とすれば、固溶Bおよび炭化物Bでは  $0.00005\%$ 、酸化物Bおよび窒化物Bでは  $0.00002\%$  以上のBが定量可能である。

## 8. 態別定量結果

Table 1 の4試料を前記5・1(1)～(9)および5・2(1)～(5)にしたがつて処理し、態別定量を行なつた結果を Table 11 に示す。

$\text{Fe}_3\text{BO}_6$ 、 $\text{Fe}^{2+}\text{Fe}^{3+}\text{BO}_5$  のような形態の酸化物、およびBNとしての窒化物の存在は、Table 2 に示したようにいずれの試料も Ti および Al が添加されているので、少ないとすることはあらかじめ予想されていた。Table 11 の結果はこの予想どおりで特にいうことはない。

ボロセメンタイトとしての炭化物の存在もX線回折の

Table 11. Results of metallographic analysis of boron in boron treated steels (%).

Sample	B as solid solution	B as boro-cementite	B as oxides	B as BN	Total
1	0.0025	0.0004	0.0000	0.0001	0.0030
	0.0025	0.0004	0.0000	0.0001	0.0030
	0.0026	0.0004	0.0000	0.0001	0.0031
2	0.0024	0.0008	0.0001	0.0002	0.0035
	0.0022	0.0009	0.0001	0.0002	0.0034
	0.0023	0.0008	0.0001	0.0003	0.0035
3	0.0012	0.0020	0.0000	0.0002	0.0034
	0.0012	0.0020	0.0000	0.0002	0.0034
	0.0012	0.0021	0.0000	0.0001	0.0035
4	0.0002	0.0020	0.0002	0.0007	0.0031
	0.0002	0.0020	0.0003	0.0007	0.0032
	0.0001	0.0021	0.0002	0.0007	0.0031

結果から予想されていたが、試料4の場合のようにほとんどのBがボロセメンタイトとして存在しているのは意外であつた。しかし、Table 11 から、試料中のC含有量が少ない場合は固溶体としてのBが多く、C含有量が多くなるにしたがつて固溶体としてのBが減少し、逆にボロセメンタイトとしてのBが増加してゆく傾向が認められる。これは  $\alpha$ -Feに対するBの固溶限がきわめて少ないと<sup>28)</sup>一方  $\text{Fe}_3\text{C}$  中へは比較的多く固溶しうること<sup>28)</sup>などから理解できる。この事実は従来Bの焼入性に対する効果はC量の増加とともに直線的に減少する<sup>1)</sup>といわれていることと関連があるようと思われ、注目すべき現象であると思う。

## 9. 結 言

鋼の組織分析に関する研究の一環として、本報告ではボロン処理鋼中の微量のBの態別定量についての研究を行ない、ボロン処理鋼中に固溶体、炭化物、酸化物および窒化物として存在するBを、1試料から順次系統的に抽出分離したのち、それぞれのBを形態別に定量する方法を検討し、つきの結果を得た。

(1) まず、ボロン処理鋼の素材となる炭素鋼、低合金鋼中にBがどのような形態で存在するか、従来の文献ならびに電解抽出残査のX線回折で調べた結果、固溶体としてのほか、炭化物としては  $\text{Fe}_3(\text{C}, \text{B})$ 、 $\text{Fe}_{23}(\text{C}, \text{B})_6$  など、酸化物としては  $\text{Fe}^{2+}(\text{BO}_2)_2$ 、 $\text{Fe}^{3+}_3\text{BO}_6$ 、 $\text{Fe}^{2+}\text{Fe}^{3+}\text{BO}_5$ 、 $\text{Fe}^{2+}_2\text{Fe}^{3+}\text{BO}_5$  など、窒化物としてはBNの形態で存在することが推定された。よつて、これらの形態のBを分離する方法を合成化合物、その他の手段により検討した。

(2) 化合物Bから固溶体としてのBの分離では、著者がさきに報告したNaCl-EDTA中性溶液を電解液として用いる電解抽出法が、従来固溶Bの分離法として利用されている熱拡散法、Br-エスチル法などよりすぐれていることを認めた。この電解抽出法を利用することにより、各種の形態で存在する化合物Bから固溶体としてのBを定量的に抽出分離しうることを見いだした。

(3) 酸化物Bおよび窒化物BからボロセメンタイトとしてのBを分離するには、電解抽出残査を  $\text{HNO}_3(1+2)$  で処理すればよいことを見いだした。この方法によりボロセメンタイトとしてのBを簡易迅速に、しかも定量的に抽出分離することができた。

(4) 酸化物としてのBとBNとしてのBの分離では、ボロセメンタイトを分離した後の残査を  $\text{HCl}(1+1)$  で処理すれば、両者を定量的に分離しうることを認めた。

(5) このようにして分離した各形態中のBは、これも著者が別に報告したメチレン青-ジクロルエタン抽出吸光光度法の改良法<sup>⑨</sup>を適用すれば、簡易に、しかも0.00002%以上の微量のBが精度よく定量しうるのを見いたした。

(6) 以上の検討結果にもとづいて規定した分離ならびに定量操作にしたがい、数種のボロン処理鋼について態別定量を行なつた結果、従来、通常の場合ボロン処理鋼中にはほとんど存在しないと考えられていたボロセメントタイトが多量に存在する場合のあるのを見いたした。そして、これは試料中のC含有量と関係のあるらしいことが認められた。したがつて、本態別定量結果によれば、従来いわゆる effective B として考えられていた固溶体としてのBの含有量は、他の方法で得られたものよりも少い場合があるが、本法および他の方法による分析結果のいずれが実際の焼入効果と関連性が大であるか、今後の重要な研究課題となると思われる。

#### 文 献

- 1) R. A. GRANGE and T. M. GARVEY: Trans. Amer. Soc. Metals, 37 (1946), p. 136
- 2) J. C. SHYNE, E. R. MORGAN, and D. N. FREY: ibid., 48 (1956), p. 265
- 3) 阿部, 山田: 鉄と鋼, 53 (1967), p. 553
- 4) 神森, 田口, 佐藤: 金属学会誌, 32 (1968), p. 634
- 5) 神森, 山口, 佐藤, 黒沢: 同上, 32 (1968), p. 779
- 6) 若松: 鉄と鋼, 55 (1969), p. 503
- 7) 若松: 同上, 55 (1969), p. 287
- 8) 若松: 同上, 55 (1969) p. 1359
- 9) 若松: 同上, 56 (1970) p. 813
- 10) R. M. GOLDHOFF and J. W. SPRETNAK: Trans. Met. Soc. AIME, 209 (1957), p. 1278.
- 11) 橋口, 鴨下: J. Phys. Soc. Japan, 9 (1954), p. 646
- 12) M. E. NICKOLSON: Trans. Met. Soc. AIME, 209 (1957), p. 1
- 13) 金子, 西沢, 千葉: 金属学会誌, 30 (1966), p. 263
- 14) 岡本, 宮川: 金属学会報, 1 (1962), p. 254
- 15) T. C. DIGGES and F. M. REINHART, Trans. Amer. Soc. Metals, 40 (1948), p. 1124
- 16) G. E. SPEIGHT: J. Iron steel Inst., 166 (1950), p. 196
- 17) 柳橋, 佐藤: 鉄と鋼, 39 (1953), p. 575
- 18) 中山, 里吉: 金属学会誌, 29 (1965), p. 573
- 19) JIS, G 1227 (1963)
- 20) 若松: 分析化学, 9 (1960), p. 22.
- 21) E. F. RUNGE, L. S. BROOKS, and F. R. BRYAN: Analyt. Chem., 27 (1955), p. 1542
- 22) J. P. WILLIAMS, D. E. CAMPBELL, and T. S. MAGLIOCCA: ibid., 31 (1959), p. 1560
- 23) V. R. WIEDERKEHR and G. W. GOWARD: ibid., 31 (1959), p. 2102
- 24) 吉森, 三輪, 武内: 金属学会誌, 27 (1963), p. 226
- 25) 学振編: 鉄鋼迅速分析法, 統, 付解説, (1966), p. 504 (丸善)
- 26) 学振編: 鉄鋼化学分析全書, 第8巻, (1963), p. 153 (日刊工業新聞)
- 27) 阿部, 岡部: 鉄と鋼, 54 (1968), p. 1272
- 28) M. E. NICHOLSON: Trans. Met. Soc. AIME, 200 (1954), p. 185